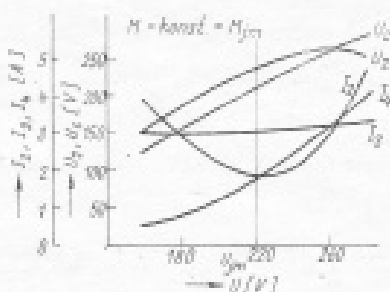
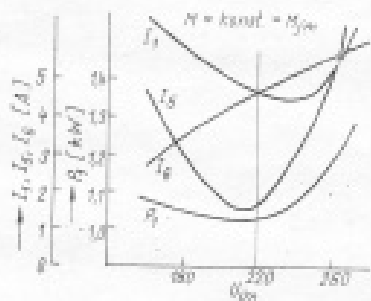


Jak vypadají průběhy těchž většin v závislosti na napěti U_1 při konstantním jmenovitém krouceném momentu je uvedeno na dalších obrázcích. Závislost $I_2, I_3, I_4, U_2, U_C = i(U)$ je na obr. 8a; závislost $I_2, I_3, I_4, P_1 = I(U)$ je na obr. 8b.



Obr. 8a. Závislost fázových proudů na napětí při konstantním krouceném momentu.

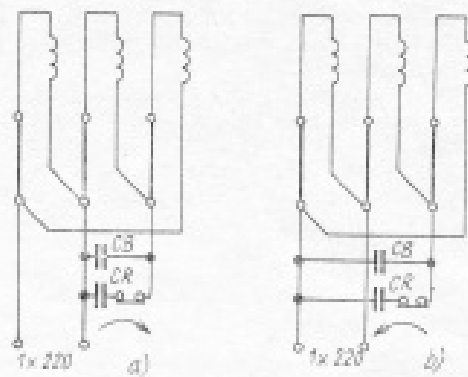


Obr. 8b. Závislost sduřených proudů a příkonu na napětí při konstantním krouceném momentu.

Ze záznámů vyplývá, že rozdělení proudů I_2, I_3, I_4 je závislé na velikostech napětí jednotlivých fází, tj. na napěti U_1, U_2 a U_C . V případě rovnosti těchto napěti byly by i proudy I_2, I_3, I_4 shodné. Takový případ byl hledán u měřeného již motoru 3AP 80 - 2 v jednofázovém zapojení. Na základě provedených měření lze předpokládat, že existuje pouze jeden případ zatížení, kdy k vyrovnaní proudů (napěti) dochází. Při měření bylo postupováno tak, že byly průběžně sledovány proudy I_2, I_3, I_4 při konstantním napěti $U_1 = 220$ V a zvoleném krouceném momentu v závislosti na běhové kapacitě. Takových měření při odstupňovaném krouceném momentu bylo provedeno několik a zjistěno, že k vyrovnaní proudů při $U_1 = \text{konst.} = 220$ V dochází při postupném zmenšování krouceného momentu. V našem případě se tak stalo při $C_a = 41 \mu\text{F}$ a výkonu motorku 375 W (viz tab. 6).

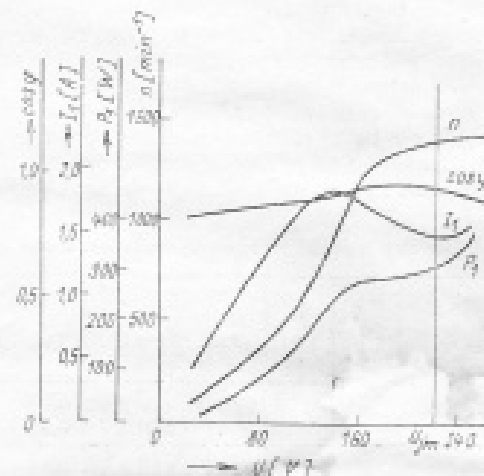
Porovnáním těchto výsledků (tab. 6) s tab. 5 (3AP 80 - 2) zjistíme, že k vyrovnaní fázových proudů došlo za hledaných podmínek při výkonu $P = 375$ W, což je v daném případě asi 1/3 výkonu při trojfázovém pro. znač. Z toho je tedy patrné, že rovnost fázových, popř. sduřených proudů není v našem případě účelná a výhodná, právě pro značné zmenšení výkonu na hřidél motoru.

Nerovnoměrné proudové zatížení jednotlivých fází, způsobené porušením nesouměrnosti proudo-



Obr. 9. a) — běhový i rozstředový kondenzátor, smysl točení vpravo; b) — běhový i rozstředový kondenzátor, smysl točení vlevo.

vé soustavy, není pro správnou funkci motoru za provozních podmínek škodlivé. To konečně prokázala praxe zcela jednoznačně. V popisovaném zapojení pracují některé typy motorek řady 3AP od roku 1975 a v současné době je jich v provozu asi 150 000 ke spokojenosti (z hlediska elektrických vlastností) provozovatelů i výrobce. Motorky se převážně používají k pohunu ventilátorů v zemědělských objektech. Množství vzduchu se řídí otáčkami motorku v závislosti na velikosti přiváděného napěti. Tento způsob lze provést díky vhodným průběhem momentové charakteristiky $M = f(n)$ motorku a pracovní charakteristiky ventilátoru. Ukázka průběhu otáček n , proudu I_1 , příkonu P_1 a účinku $\cos \varphi$ je znázorněn na obr. 10.



Obr. 10. Ukázka průběhu n ; I_1 ; $\cos \varphi$; $P_1 = I(U)$ motorku 3AP 71 - 4s; 1x220 V, s ventilátorem Ø 460 mm.

V daném případě bylo použito motorku 3AP 71 - 4s v jednofázovém zapojení 220 V, 180 W, $C_a = 20 \mu\text{F}$. Na hřideli motorku byl upevněn ventilátor z hliníkové slitiny s průměrem oběžného kola 460 mm a se sedmi lopatkami. Za normálních provozních podmínek pracuje motorek spolehlivě již při $U_1 = 40$ V, tj. asi od $n = 160 \text{ min}^{-1}$ až do jmenovitých otáček 1420 min^{-1} při postupném zvyšování napěti na jmenovitou hodnotu 220 V. Lze tedy dosáhnout

Tab. 6. Naměřené hodnoty

U_1 [V]	U_2 [V]	U_C [V]	I_2 [A]	I_3 [A]	I_4 [A]	I_1 [A]	P_1 [W]	P [W]	M [Nm]	n [min $^{-1}$]	$\cos \varphi$	η [%]	
220	219	220	2,85	3,03	2,85	1,67	1,67	535	375	1,23	2925	0,85	70,1